

INTERNATIONAL ATOMIC ENERGY AGENCY  
UNITED NATIONS EDUCATIONAL, SCIENTIFIC AND CULTURAL ORGANIZATION



INTERNATIONAL CENTRE FOR THEORETICAL PHYSICS  
34100 TRIESTE (ITALY) - P.O. B. 586 - MIRAMARE - STRADA COSTIERA 11 - TELEPHONE: 2240-1  
CABLE: CENTRATOM - TELEX 460892 - I

W4.SMR/193 - 53

"COLLOQUE INTERNATIONAL SUR LA SCIENCE DES MATERIAUX POUR L'ENERGIE".  
(26 août - 11 septembre 1986).

"ETUDE DES PARAMETRES PHYSIQUES QUI INTERVIENNENT DANS LE RENDEMENT  
DES PHOTOPILES".

Michel Averous  
Université des Sciences et Techniques  
du Languedoc  
Montpellier, France

Ces notes de recherche provisoires, sont destinées aux participants. Eventuellement, d'autres copies seront disponibles au bureau 231.

Étude des paramètres physiques qui interviennent dans le rendement des photopiles

Dans la conférence sur les rendements un certain nombre de paramètres physiques sont intervenus; ils sont caractéristiques des matériaux employés et du dopage de ces matériaux. Ils sont soit des paramètres électriques, soit des paramètres optiques. Au cours de cette conférence nous allons étudier ces paramètres.

### Paramètres Électriques

#### I - Conductivité du semi-conducteur et mobilité des porteurs

L'un des paramètres électriques fondamentaux d'un semi-conducteur est sa conductivité (exprimée en  $\text{ohm}^{-1}\text{cm}^{-1}$ ) qui est généralement exprimée sous la forme

$$\sigma = q(n\mu_e + p\mu_h)$$

où  $n$  est la concentration d'électrons libres  $1/\text{cm}^3$

$p$  = la concentration de trous  
 $q$  la charge de l'électron, constant  
 $\mu_e$  = la mobilité électronique,  $\text{cm}^2\text{volt}^{-1}\text{sec}^{-1}$   
 $\mu_h$  = — — — — — trous  
 l'inverse de la conductivité est la résistivité  $\rho = 1/\sigma$   
 c'est cette grandeur qui est mesurée.  
 la mobilité des porteurs de charge dans un semi-conducteur est limitée principalement par la diffusion due aux collisions avec les atomes du réseau et les atomes d'impuretés non ionisés. Aux hautes températures, qui ne sont pas en général la température d'utilisation des photopiles, la diffusion par les impuretés ionisées intervient aussi.

Quand la concentration en impuretés augmente, la mobilité décroît. La Fig 1 le montre pour le silicium. De même la mobilité des porteurs de charge décroît quand la température augmente parce que les vibrations thermiques des atomes du réseau augmentent, ce qui entraîne une diffusion des porteurs plus intense. En général la variation de la mobilité avec  $T$  est donnée par une loi de la forme

$$\mu = C T^{-\alpha}$$

où  $\alpha$  est caractéristique des processus de diffusion des électrons et des trous. Pour Si

$C_e = 4.0$	$\alpha_e = 2.6$
$C_h = 2.5$	$\alpha_h = 2.3$

(4.2) L'usque la mobilité dépend de la concentration donc de la concentration en porteurs, la conductivité de SC n'est pas directement proportionnelle à la concentration de porteurs.

les fig ci dessous représentent la variation de la résistivité ou de la conductivité en fonction de la concentration

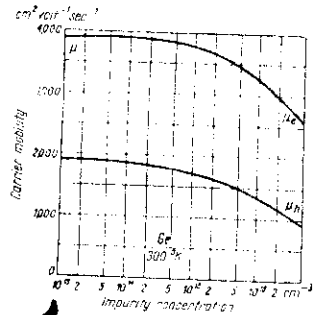


Fig. 1. Mobilities of electrons  $\mu_e$  and holes  $\mu_h$  in germanium versus the impurity concentration (after Prince<sup>3</sup>)

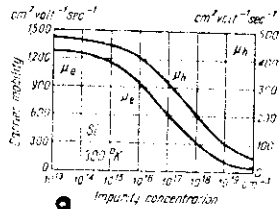
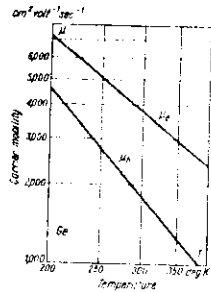


Fig. 2. Mobilities of electrons  $\mu_e$  and holes  $\mu_h$  in silicon versus the impurity concentration (after Conwell<sup>4</sup>)



Mobilities of electrons  $\mu_e$  and holes  $\mu_h$  in germanium versus temperature (after Prince<sup>3</sup>; Zet<sup>5</sup>)

Fig 3

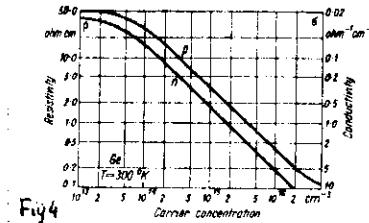


Fig 4. Conductivity  $\sigma$  and resistivity  $\rho$  of p-type and n-type germanium versus carrier concentration (after Prince<sup>3</sup>)

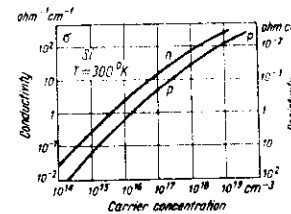


Fig 5. Conductivity  $\sigma$  and resistivity  $\rho$  of p-type and n-type silicon versus carrier concentration

Compensation : un facteur important dans la détermination de  $\rho$  est la compensation. En pratique il s'agit de matériaux où l'on a, a la fois des donneurs et des accepteurs. la résistivité sera comme si l'on avait un seul type d'impureté qui ait la différence des deux.

EX Ge avec  $N_D = 2.7 \cdot 10^{15} \text{ cm}^{-3}$   
 et  $N_A = 9 \cdot 10^{14} \text{ cm}^{-3}$   
 Il donne une conductivité de type n et une résistivité correspondant à une concentration de donneurs égale à  $N_D - N_A$ . Il est donc possible d'ob,

des matériaux avec une concentration et un niveau impureté, une grande résistivité, proche de celle d'un matériau intrinsèque. En dépit de leur haute résistivité, leur grand nombre d'impuretés agit comme des centres recombinaisons, de telle sorte que les porteurs ont des mobilités très basses et des durées de vie faibles. Dans ce tel matériau ne sont pas leur par les photo piles

concentration, le courant est négatif, haute concentration plus élevée. Pour les trous, le mouvement et le courant de diffusion ont la même direction

$$j_h = -q D_h \frac{dp}{dx}$$

les constantes de diffusion pour les électrons et les trous ( $\text{cm}^2 \text{sec}^{-1}$ ) sont reliées à la mobilité par la relation d'Einstein

$$D = \mu \frac{kT}{q}$$

## II - Courant de diffusion et Courant de drift

Quand on considère l'écoulement d'un courant électrique dans un semiconducteur, l'on doit tenir compte de deux types de courant.

Dans un semiconducteur homogène (concentration constante) la densité de courant est proportionnelle à l'intensité du champ électrique appliqué.

$$j = \sigma E = q n \mu E$$

le courant est le courant de drift.

Si la concentration varie, un courant électrique est produit, même sans champ externe. C'est le courant de diffusion. Il est proportionnel au gradient de concentration.

$$j_c = q D_c \frac{dn}{dx}$$

pour les électrons (gradient de densité)

ou  $D_c$  est la constante de diffusion. Dans les électrons se déplacent vers les faibles

Dans en présence de gradient de concentration d'impuretés et de champ électrique, le courant total est la somme des 2 courants: courant de Drift et courant de diffusion

## III - Durée de vie - Recombinaison des porteurs - Durée de vie et longueur de diffusion dans les semiconducteurs

les porteurs de charge peuvent être générés soit à partir des atomes de cristal (BV-BC) soit à partir d'atomes d'impuretés ( $e^-$  par donneurs, trous par accepteurs). Il y a un échange permanent d'énergie, de cette façon, entre les atomes.

la capture des porteurs libres par les atomes, c.à.d. le processus inverse à la création de porteurs est appelé recombinaison. Un électron libre ou un trou peut se recombinaison de deux façons: soit une recombinaison directe BC-BV soit une recombinaison indirecte via les états intermédiaires dans le gap

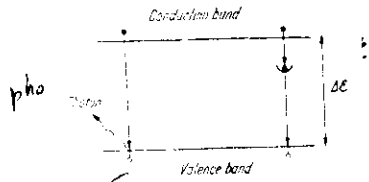


Fig. 6 Two mechanisms of electron-hole pair recombination in a semiconductor: direct recombination (on left); and recombination via trapping levels (on right).

Recombinaison

Recombinaison directe → Dans ce cas les calculs montrent que la probabilité pour que l'e<sup>-</sup> et le trou se rapproche à une distance suffisamment faible pour que la recombinaison se produise donne une durée de vie de ce mécanisme de l'ordre de 10<sup>-11</sup> s. En pratique, les durées de vie observées sont plusieurs fois plus faibles. Le processus dominant de recombinaison se fait par l'intermédiaire de niveaux pièges au moins jusqu'à des concentrations de l'ordre de 10<sup>17</sup>.

Expliquer le cas des niveaux profonds

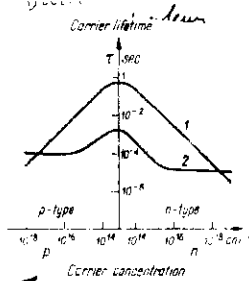


Fig. 27 Carrier lifetime in n-type and p-type germanium versus carrier concentration: 1 for direct recombination, 2 for recombination via trapping levels.

On peut faire e<sup>-</sup>

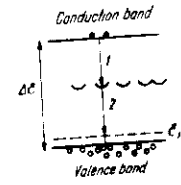


Fig. 28 The recombination of electron-hole pairs in a heavily-doped p-type semiconductor: 1 first phase of recombination limiting the recombination rate; 2 final phase of recombination.

Dans le cas de la recombinaison des porteurs via les pièges, la concentration de porteurs en excès en fonction du temps suit une loi linéaire de décroissance

$$\frac{dn}{dt} = -\frac{\Delta n}{\tau_e} \quad \frac{dp}{dt} = -\frac{\Delta p}{\tau_h}$$

où Δn et Δp sont les concentrations en excès des électrons libres et trous libres par rapport aux concentrations à l'équilibre thermique, et τ<sub>e</sub> et τ<sub>h</sub> sont respectivement les durées de vie de e<sup>-</sup> et des trous.

la durée de vie des porteurs libres dans un SC est un paramètre important puisque il détermine la longueur moyenne à laquelle les porteurs peuvent diffuser à partir du point où ils sont créés (important pour atteindre la jonction). Cette distance est appelée la longueur de diffusion et dépend de la durée de vie

$$L_e = \sqrt{\tau_e D_e}$$

$$L_h = \sqrt{\tau_h D_h}$$

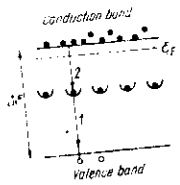


Fig. 28 The recombination of electron-hole pairs in a heavily-doped n-type semiconductor: 1 first phase of recombination limiting the recombination rate; 2 the final phase of recombination.

Donner les profonds. Tous les cas E<sub>T</sub> au dessous dans 1<sup>er</sup> phase et e<sup>-</sup> du dessous vers le trou dans la phase 2<sup>ème</sup> car libre et en phase

Dans quel une paire électron trou est créée, le trou est capturé le premier. la durée de vie des trous est inversement proportionnelle à la concentration des niveaux profonds. dans ce cas les niveaux profonds sont sensibles de la température.

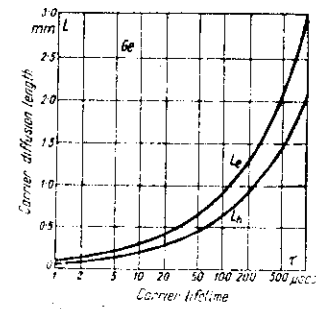


Fig. 10 Diffusion length L<sub>e</sub> of electrons and L<sub>h</sub> of holes in germanium.

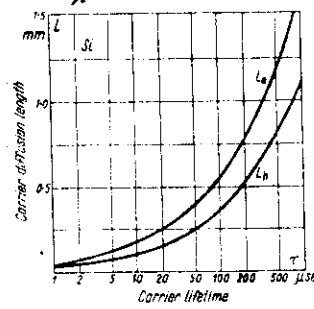


Fig. 11 Diffusion length L<sub>e</sub> of electrons and L<sub>h</sub> of holes in silicon.

IV - Recombinaison en surface

Si une faible concentration en excès de porteurs de charge libres s'élevait à la surface du semi-conducteur, le nombre de porteurs se recombinaient / unité de temps / unité de surface est proportionnel à la concentration de porteurs en excès à la surface  $s \Delta n_{sp}$ . Le facteur de proportionnalité est la vitesse de recombinaison en surface (en  $s^{-1}$ )

Dans le cas d'une surface libre, sans électrode, le courant de surface doit être égal à zéro. Cependant un nombre égal d'électrons et de trous peuvent atteindre la surface à partir du volume et se recombiner en surface. Le nombre d' $e^-$  se recombinant / unité de surface / unité de temps  $s \Delta n_{sp}$  est égal au nombre d'électrons arrivant à la surface du SC / unité de surface / unité de temps  $i_n / q$  où  $i_n$  est la composante de la densité de courant d'électrons normale à la surface.

$$\frac{i_n}{q} = s \Delta n_{sp}$$

la direction  $> 0$  est prise à l'opposé de la direction du mouvement des électrons vers la surface. Dans de nombreux cas (photoptc) la recombinaison accède des paires électron-trous dans des couches

Equation de Continuité:

La concentration de porteurs dans une région et une SC peut augmenter à cause des variations induites par l'émission ou à cause de porteurs venant des

régions voisines mais aussi par le départ des porteurs par diffusion ou sous l'influence d'un champ électrique. Considérons cet effet quant à l'électron.

Soit une couche SC d'épaisseur  $d$  et de section  $1 \text{ cm}^2$  le volume est  $dx$ . La concentration en  $e^-$  est  $n(x, t)$  le nombre total d' $e^-$  est  $n(x, t) dx$

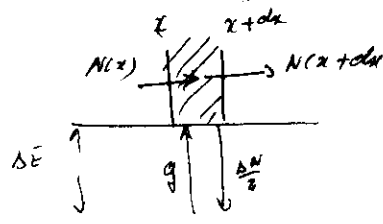
une variation d' $e^-$  pendant le temps  $dt$  peut s'écrire:

$$[n(x, t+dt) - n(x, t)] dx = \frac{\partial n}{\partial t} dx dt$$

Cette variation provient des processus suivants:

- a) pendant le temps  $dt$ , la recombinaison crée  $g dt dx$  électrons.
- b) la variation due aux recombinaisons est  $-(s n / \tau) dx dt$ .
- c)  $N(x, t) dt$  électrons entrent dans la région à travers la frontière définie par le plan  $x$  pendant le temps  $dt$   $N(x, t)$  est le flux d' $e^-$  (en  $e^- \text{ cm}^{-2} \text{ s}^{-1}$ ) entrant dans la région dans le sens des  $x$ . Pendant le même temps il en sort  $N(x+dx, t) dt$  la différence est

$$[N(x) - N(x+dx)] dt = - \frac{\partial N}{\partial x} dx dt$$



la variation totale du nombre d'électrons dans un volume  $\Omega$  donné en tenant compte des trois processus sera

$$\frac{\partial n}{\partial t} d\Omega dt = (g - \frac{\partial n}{\partial x} - \frac{\Delta n}{\delta}) d\Omega dt.$$

d'où nous obtenons

$$\frac{\partial n}{\partial t} = g - \frac{\partial n}{\partial x} - \frac{\Delta n}{\delta}$$

le flux d'électrons peut être exprimé comme

$N_e = -\frac{ie}{q}$ , la densité de courant étant la somme des densités de courant de drift et de diffusion.

Dans 
$$\frac{\partial n}{\partial t} = g + \frac{1}{q} \frac{\partial ie}{\partial x} - \frac{\Delta n}{\delta}$$

Ceci est l'équation de continuité.

Si n change dans les trois directions

$$\frac{\partial n}{\partial t} = g + \frac{1}{q} \text{div } ie - \frac{\Delta n}{\delta}$$

$$\text{div } ie = \frac{\partial i_x}{\partial x} + \frac{\partial i_y}{\partial y} + \frac{\partial i_z}{\partial z}$$

la densité de courant total, qui dans ce cas a deux trois composantes est égal à:

$$ie = q(n\mu_c E + D_e \text{ grad } n)$$

(de conduction + et de diffusion)

Des équations analogues peuvent être écrites pour les trous

$$\frac{\partial p}{\partial t} = g - \frac{1}{q} \text{div } i_h - \frac{\Delta p}{\delta}$$

A l'état stationnaire la concentration de porteurs ne varie pas et  $\frac{\partial n}{\partial t} = \frac{\partial p}{\partial t} = 0$ .

L'équation de continuité est une équation fondamentale utilisée dans la détermination des caractéristiques de cellules photoélectriques et sera employée fréquemment par les conférenciers. (cadène)

### B - Paramètres Optiques

En plus de paramètres électriques que nous venons de voir, les cellules photoélectriques ont certaines propriétés optiques, qui jouent parfois un rôle décisif dans l'effet photovoltaïque. Ces propriétés sont essentiellement: l'absorption, la réflexion et la transmission des radiations en même temps que la dépendance de ces propriétés avec des facteurs, tels que: longueur d'onde de la radiation, température, angle de semi-conducteur, méthode de préparation des surfaces, etc. ....

lorsque l'on envoie une radiation électromagnétique incidente sur un SC, elle se divise en trois parties: une fraction  $P_r$  de la puissance incidente est

- Une fraction  $P_a$  est absorbée dans le SC
- Une fraction  $P_r$  est transmise

$$\frac{P_r}{P} + \frac{P_a}{P} + \frac{P_t}{P} = 1$$

conservation de l'énergie.

Cette relation est valable quelle que soit la longueur d'onde.

Dans les cellules photovoltaïques qui convertissent la radiation électromagnétique en électricité, on doit avoir la plus grande fraction possible de l'énergie absorbée.

La Fig ci dessous illustre les processus selon lesquels un photon est absorbé dans un semi-conducteur

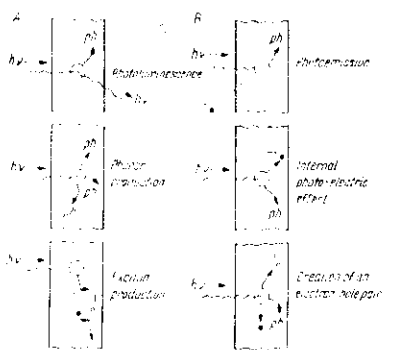


Fig 12 Various types of interaction between photons and a semiconductor crystal lattice.

le groupe B maintient les interactions qui existent des porteurs libres. Si l'énergie de l'électron est suffisamment grande, il franchit le potentiel de surface et quitte le cristal : effet photovoltaïque externe. B Si l'énergie est insuffisante, il l'est ne quitte pas le cristal. B2. Effet photovoltaïque interne.

3. Reflection d'une radiation à la surface d'un SC

Le rapport de la puissance réfléchi à la puissance incidente est noté  $R_\lambda$ . Un corps qui aurait un  $R_\lambda$  est un réflecteur idéal.

Pour une radiation incohérente non polarisée, qui est perpendiculaire à la surface du SC l'interface plane entre l'air et le SC d'indice de réfraction  $n_r$  et  $n_a$  la valeur de  $R_\lambda$  est donnée approximativement,

$$R_\lambda = \left( \frac{n_r - 1}{n_r + 1} \right)^2$$

valable pour incidence  $> 45^\circ$

Il s'ensuit que l'énergie perdue croît avec l'indice de réfraction du SC.

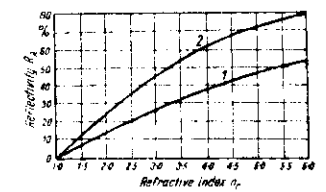
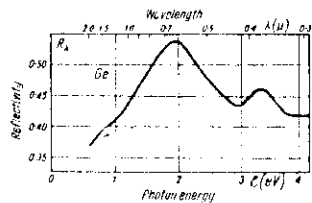


Fig 13: Reflectivity as a function of the refractive index of the material; taking into account reflection: 1 at front surface only, 2 at front and back surfaces, 10b.

les SG ont un indice de refraction compris entre 3 et 4  $\Rightarrow$   $n_1$  voisin de 50% (AS)

Dans les cellules photovoltaïques, on utilise des fenêtres ~~Infra-rouge~~ cela réduit dramatiquement le rendement, ainsi au recours la surface de fronts non réfléchissants qui ont un bon indice de refraction la réflectivité décroît alors de quelques %.

- la réflectivité est aussi une fonction de la longueur d'onde de la radiation incidente, ceci est dû d'une part à la dépendance de l'indice de refraction  $n_r$  avec la longueur d'onde, d'autre part à la dépendance avec la longueur d'onde des autres paramètres du milieu.



Reflectivity  $R_A$  as a function of radiation wavelength for germanium

Figure 11

la réflectivité à la surface non seulement réduit le rendement de la photopile mais c'est aussi une des raisons qui fait que leur sensibilité dépend de la longueur d'onde.

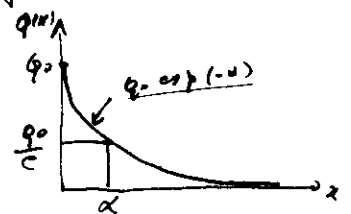
II - Absorption de la radiation par un semi-conducteur

## II.4. Coefficient d'absorption

Sans étudier les différents mécanismes d'absorption le flux de photons, décroît avec la distance à l'intérieur du SG suivant la loi exponentielle

$$Q(x) = Q_0 \exp(-\alpha x) = Q(1 - R_A) \exp(-\alpha x)$$

$Q_0$  est le flux de photons parvenant à travers la surface (en photons  $\text{cm}^{-2} \text{s}^{-1}$ )  
 $Q(x)$  le flux à la profondeur  $x$  sous la surface  
 $\alpha$  le coeff d'absorption en  $\text{cm}^{-1}$



- le coefficient d'absorption varie pour différents mécanismes d'absorption et c'est une mesure de la décroissance du flux de photons pour un mécanisme d'absorption donné.

### II.1. Absorption intrinsèque

Le plus important des mécanismes dans la majorité des semi-conducteurs utilisés en photopile est l'absorption de l'énergie de radiation par les électrons de valence de atomes. Quand les photons sont suffisamment énergétiques, ces

absorption conduit à l'activation de  $c^-$  de la bande  $(11)$  de valence à la bande de conduction et donc à la génération de paires électrons-trous. Le processus est connu sous le nom d'absorption intrinsèque. L'énergie minimum de photon requise est l'énergie de la gap.

Fig 15-16-17-18-19-20

Pour des  $E_{photon} < E_g$ , le coeff d'absorption intrinsèque est zero, et donc la radiation est transmise par le SC sans atténuation.

Si  $E_{photon} > E_g$  et  $\uparrow$  très rapidement.

La valeur théorique du coeff d'absorption, calculé par FAN est

$$\alpha = \frac{2q^2 (2m_p)^{3/2} (h\nu - E_g)^{3/2}}{3m^2 h^2 c n_p h\nu}$$

$$\text{ou } m_p = \frac{m_e m_h}{m_e + m_h}$$

$p = 3/2$  ou  $1/2$  suivant que le gap est direct ou indirect

## II.2. Absorption extrinsèque

Si des atomes d'impuretés avec une énergie inférieure au gap sont introduits dans un SC, des photons avec une énergie inférieure au gap sont

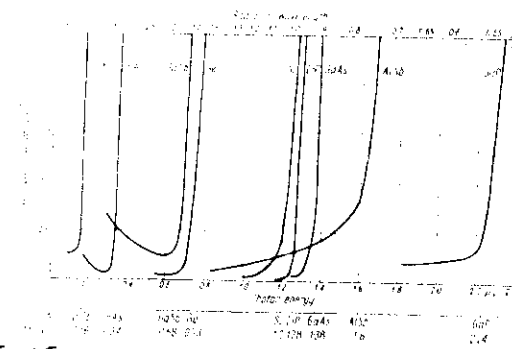


Fig 15 Absorption edge of several semiconductors.

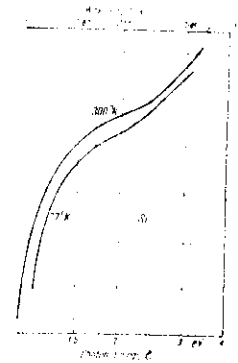


Fig 16 Absorption coefficient versus energy for silicon. (after Dash and

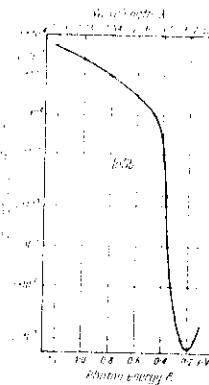


Fig 17 Absorption coefficient versus photon energy for indium antimonide

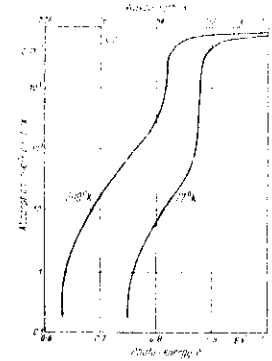


Fig 18 Absorption coefficient versus photon energy for germanium.

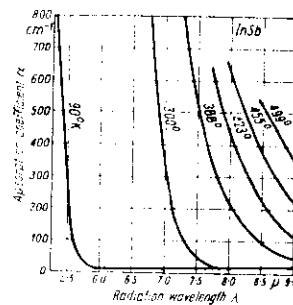


Fig 19 Temperature dependence of position of absorption edge of indium antimonide

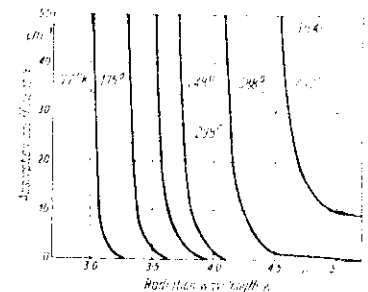


Fig 20 Temperature dependence of position of absorption edge of indium arsenide

capacité d'excitation des électrons d'un niveau d'impureté dans la bande de conduction, ou de la bande de valence d'un niveau accepteur. L'énergie des photons doit évidemment être supérieure à l'énergie d'ionisation du niveau.

Dans ce cas le coefficient d'absorption est donné suivant FAN par

$$\alpha = \frac{2^9 \pi N_I h q^2}{3 n_r c m_e \Delta E_I} \left( \frac{\Delta E_I}{h\nu} \right)^4 \frac{\exp \left[ -4 \left( 1 - \frac{\Delta E_I}{h\nu} \right) \arctan \left( \frac{1 - \frac{\Delta E_I}{h\nu}}{2} \right) \right]}{1 - \exp \left[ -2 \left( 1 - \frac{\Delta E_I}{h\nu} \right) \right]}$$

pour des photons dont l'énergie est voisine de l'énergie d'ionisation du niveau d'impureté  $\Delta E_I$  l'expression ci-dessus se simplifie et devient

$$\alpha = 8.3 \times 10^{-17} \frac{m N_I}{m_e n_r \Delta E_I}$$

où  $m$  masse de l'électron libre dans le vide

$m_e$  = masse effective de l'e- dans SC.

$n_r$  indice de réfraction

$N_I$  concentration impureté

$\Delta E_I$  énergie d'ionisation de l'impureté.

En substituant dans l'équation ci-dessus les valeurs numériques moyennes dans les semi-conducteurs on obtient que le coeff d'absorption due aux impuretés

est de l'ordre de  $10^{-17}$ . Jusqu'à la concentration en impuretés est habituellement dans la gamme  $10^{15}$  à  $10^{18} \text{ cm}^{-3}$  le coeff d'absorption correspondant est de l'ordre de  $2 \cdot 10^{-2}$  Le processus d'absorption est très inefficace puisqu'il peine à utiliser une partie du spectre d'énergie solaire qui serait sans cela perdue.

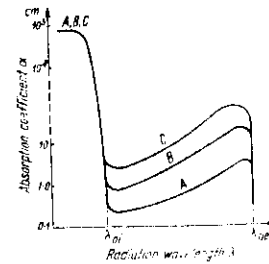


Fig. 24. Wavelength-dependence of absorption coefficient of sem with various concentrations of impurities: A semiconductor with low concentration, C semiconductor with highest impurity content

### II-3 Absorption par les porteurs libres

lorsque la T n'est pas gaze, il existe tj des porteurs libres dans un SC. les photons de la radiation incident peuvent interagir avec ces porteurs, la réaction, qui absorbe le photon; leur énergie dans la bande de conduction

Pour un SC de type n dont  $\sigma$  n'est pas très élevée, de telle sorte que  $\sigma \ll \omega \epsilon_0$ , le coeff d'absorption due à l'absorption par les porteurs libres est

$$\alpha = \frac{\sigma}{\epsilon_0 c n_r} \left[ 1 + \left( \frac{\omega \mu m_e}{q} \right)^2 \right]^{-1}$$

$\sigma = k$  conductivité en  $\Omega^{-1} \text{cm}^{-1}$   
 $\omega =$  la fréquence angulaire de la radiation en  $\text{s}^{-1}$   
 $\epsilon_0$  constante diélectrique du vide,  $\frac{1}{36\pi} \times 10^{-12}$  constante diélectrique d'un "carré-by-space" (en Farad mètre $^{-1}$ )  
 $m_c$  la masse effective de l'électron  
 $\mu$  la mobilité

Pour des radiations de fréquence micro-onde, telle que la condition  $\omega \mu m_c / q \ll 1$  soit remplie, l'équation ci-dessus se simplifie

$$\alpha = \frac{\sigma}{\epsilon_0 c n_r} = 1635 \frac{\sigma}{n_r}$$

Pour des radiations IR telle que  $\frac{\omega \mu m_c}{q} \gg 1$ , elle devient

$$\alpha = \frac{\sigma q^2}{\epsilon_0 c n_r \mu^2 m_c^2 \omega^2} = \frac{A q^3}{4\pi^2 c^3 n_r \epsilon_0} \frac{n}{m_c^2 \mu}$$

— Donc l'absorption par les porteurs libres est proportionnelle au carré de la longueur d'onde et au nombre d'électrons.

la condition  $\frac{\omega \mu m_c}{q} \gg 1$  est valable pour des nombres d'onde  $\omega$  pour des longueurs d'onde supérieures à  $1000 \mu$

Si  $\epsilon$  est en  $\text{cm}^{-1}$ , à la fois  $\epsilon$  et  $\epsilon^{-1}$  est des trous

$$\alpha = \frac{A q^3}{4\pi^2 c^3 n_r \epsilon_0} \left( \frac{n}{m_c^2 \mu_c} + \frac{p}{m_v^2 \mu_h} \right)$$

Pour modifier  $\alpha$ , on peut jouer à la fois sur  $n$  et  $p$

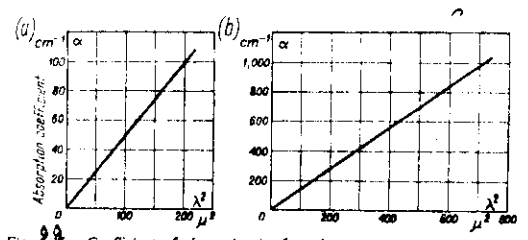


Fig. 2. Coefficient of absorption by free charge carriers in Indium antimonide as a function of radiation wavelength: (a) carrier concentration  $3.5 \times 10^{17} \text{ cm}^{-3}$ , (b) carrier concentration  $6.2 \times 10^{17} \text{ cm}^{-3}$

In Sb.

### II.4. Absorption excitonique

L'absorption intrinsèque et par impuretés, produisant des porteurs libres dans la BC et la BV. Un autre mécanisme d'absorption est possible. C'est la formation d'un exciton. Un exciton consiste en un électron excité, relié et serré, avec lequel il est lié par leur propre champ. Bien qu'il s'agisse de la recombinaison d'une charge positive (trou) et négative ( $e^-$ ) la charge résultante se déplaçant dans le cristal est zero. Donc cette absorption ne donne pas de rendement. Le spectre d'absorption consiste en un nombre de lignes distinctes correspondant aux niveaux excitoniques. La position des niveaux excitoniques / bandes de la BC est donnée par la formule de Hols

$$E_h = - \frac{q^2 m_r q^4}{4\pi \epsilon^2 h^2}$$

ou  $r^2 = \frac{a}{m_e + m_k}$   
 Propriétés optiques importantes pour les cellules solaires.

moins efficace un système électronique,  $k$  le nombre quantique orbital.

L'énergie caractéristique des quanta correspondant aux lignes d'absorption extrinsèques est égal à :

$$h\nu_k = \Delta E - E_k$$

Débat

### II.5 Absorption par les vibrations du réseau

Les cristaux ioniques ont une bande d'absorption importante dans l'infrarouge lointain, associée avec les vibrations des ions dans le réseau. Les forces de liaison interatomiques des réseaux de cristaux ioniques sont comparables avec les forces électrostatiques qui agissent à l'intérieur des atomes. Puisque, cependant, le même ionique est approximativement 10<sup>4</sup> fois la masse électronique, le spectre associé avec les vibrations du réseau se trouve dans l'infrarouge lointain.

- À dans 2-25  $\mu$ m ou la partie des cristaux ioniques est faible il existe une bande d'absorption comparativement importante à 50  $\mu$ m.

Les bandes d'absorption associées avec les vibrations du réseau de Ge et Si sont marquées ci-dessous

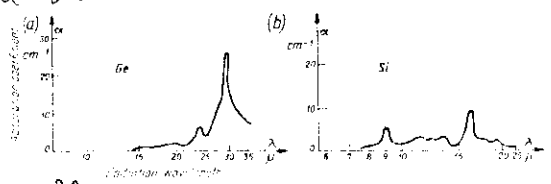


Fig. 23. Absorption spectrum of germanium and silicon associated with lattice vibrations (after Fox and Brinston, 1967).

elles absorbent indépendamment de la recombinaison en un point

Elle ne sert pas à la conversion photovoltaïque donc elle diminue le rendement.

### Conclusion

Nous pouvons donc dire que les paramètres essentiels qu'il faut mesurer, lorsque l'on veut utiliser un matériau en vue de fabriquer des photopiles sont : la conductivité, la mobilité. Il est important d'avoir une mobilité élevée, la durée de vie, la longueur de diffusion, la longueur de diffusion, doit permettre aux porteurs et atteindre la jonction (c'est-à-dire que la jonction ne doit pas être trop profonde l'absorption doit être élevée dans la jonction). (couches antireflectives) quand possible les absorptions les plus importantes pour les photopiles sont les absorptions intrinsèques et extrinsèques.

